

Кудреватых Александра Александровна

Синтез и особенности комплексообразования с катионами металлов краунсодержащих иминов 1-гидроксиантрахинона

1.4.3 – органическая химия

Автореферат диссертации на соискание ученой степени кандидата химических наук Работа выполнена в Федеральном государственном бюджетном образовательном учреждении высшего образования «Югорский государственный университет»

Научный

Клименко Любовь Степановна,

руководитель: доктор химических наук, профессор ИНГ

ФГБОУ ВО «Югорский государственный универ-

ситет», г. Ханты-Мансийск

Официальные оппоненты: Горностаев Леонид Михайлович,

доктор химических наук, профессор кафедры биологии, химии и экологии ФГБОУ ВО «Красноярский государственный педагогический университет им. В. П. Астафьева», г. Красноярск

Бакибаев Абдигали Абдиманапович,

доктор химических наук, профессор, ведущий научный сотрудник лаборатории органического синтеза ФГАОУ ВО «Национальный исследовательский Томский Государственный университет», г. Томск

Защита диссертации состоится «09» июня 2022 года в 15.30 часов на заседании диссертационного совета ДС.ТПУ.09 при федеральном государственном автономном образовательном учреждении высшего образования «Национальный исследовательский Томский политехнический университет» по адресу 634050, г. Томск, пр. Ленина, 43а, 2-й корпус ТПУ, ауд. 301 (Малая химическая аудитория).

С диссертацией можно ознакомиться в Научно-технической библиотеке ФГАОУ ВО НИ ТПУ по адресу: 634050, г. Томск, ул. Белинского, 55 и на сайте dis.tpu.ru

Me

Автореферат разослан « » ______ 2022 года

Ученый секретарь диссертационного совета ДС.ТПУ.09

Белянин М.Л.

ОБЩАЯ ХАРАКТЕРИСТИКА РАБОТЫ

Актуальность работы. Способность большого ряда органических соединений существенно изменять свои спектральные характеристики при взаимодействии с ионами лежит в основе их применения в качестве молекулярных химических сенсоров. Химические сенсоры стали главными объектами большинства исследований последних десятилетий, благодаря своей способности быстро и достоверно определять содержание элементов и их соединений. Они широко применяются для экспресс-анализа содержания катионов, анионов и нейтральных молекул в биохимии, фармакологии, органической химии, а также в ходе экологического мониторинга. На их основе разрабатываются тест-системы, которые позволяют проводить экспресс-анализ с высокой селективностью и низким пределом обнаружения в лабораторных, полевых и даже домашних условиях без применения дорогостоящего оборудования.

Действие большинства описанных в литературе химических сенсоров основано на проведении реакций определяемых веществ с хромофорными реагентами в условиях и форме, позволяющих получать визуально наблюдаемый и легко измеряемый эффект с помощью оптических методов детектирования. При этом молекулярные хемосенсоры имеют ключевое преимущество, заключающееся в том, что они могут быть сконструированы с использованием методов синтетической органической химии и, таким образом, легко модифицируются для изменения как селективности, так и чувствительности. Разработка новых селективных химических сенсоров является одним из приоритетных направлений развития современной органической химии.

Как следует из анализа современных публикаций, хемосенсоры, в которых рецепторами являются краун-эфиры, – наиболее распространенный тип сенсоров для детектирования катионов щелочных и щелочноземельных металлов. Поскольку краун-эфиры поглощают в УФобласти спектра, для визуального наблюдения изменения окраски в процессе образования комплексов их вводят в структуру хромофоров. Актуальной задачей, стоящей перед химиками, является получение полифункциональных краун-соединений, сочетающих в одной молекуле и хромофорный и ионофорный фрагменты и исследование их свойств. Наиболее интересны среди таких соединений краунсодержащие производные антрахинона, так как они являются коммерчески доступными, глубокоокрашенными соединениями, а кроме того обладают множеством различных свойств, которые возможно варьировать в широком диапазоне путем изменения молекулярной структуры. В литературе имеется большое число примеров синтеза краунсодержащих производных антрахинона, в которых полиэфирная цепь связана с ароматическими атомами углерода антрахинонового ядра. Нами разработаны синтетические подходы к получению нового типа краунсодержащих хинонов - иминов 1-гидроксиантрахинона, где краун-эфир ковалентно связан с иминным атомом азота. Изучение их катион-рецепторных свойств показало, что эти производные являются редким типом таутомерных хромоионофоров. Безусловно, получение новых краунсодержащих иминов замещенных производных 1гидроксиантрахинона, а также изучение особенностей их комплексообразования с катионами металлов являются актуальными как с точки зрения расширения знаний о новом классе производных, так и с точки зрения возможностей практического применения.

Цель диссертационной работы: оптимизация методов синтеза краунсодержащих иминов 1-гидроксиантрахинона с заместителями различной электронной природы и установление

зависимости эффективности процессов комплексообразования синтезированных соединений с катионами щелочных и щелочноземельных металлов от природы заместителя.

Основные задачи данного исследования:

- отработать условия синтеза фотоактивных производных 1-феноксиантрахинона, содержащих донорные и акцепторные заместители;
- провести фотохимический синтез 9-иминобензокраун-эфиров 1-гидроксиантрахинона в растворителе и твердой фазе;
- исследовать катион-рецепторные свойства синтезированных краунсодержащих производных с перхлоратами щелочных и щелочноземельных металлов спектрофотометрическим методом;
- провести сравнительный анализ зависимости спектральных изменений в ходе комплексообразования от электронных эффектов заместителей и природы растворителя и интерпретировать полученные данные;
- с помощью спектроскопических методов анализа и квантовохимических расчетов установить структуры образующихся комплексов и определить их константы устойчивости;
- экспериментально оценить потенциальные возможности использования полученных соединений в качестве оптических молекулярных сенсоров на катионы металлов.

Научная новизна работы

Впервые проведено систематическое исследование реакций 1,2,3,4-тетрагалогенантрахинонов с фенолятами натрия и калия в растворителе и в твердой фазе; найдены условия селективного получения α -замещенных производных механохимическим путем.

Оригинальным фотохимическим методом в одну стадию получена целая серия новых краунсодержащих иминов 1-гидроксиантрахинона с донорными и акцепторными заместителями в ядре антрахинона. Показано, что наблюдаемые спектральные изменения в ходе комплексообразования краунсодержащих иминов 1-гидроксиантрахинона, в основном, обусловлены смещением таутомерного равновесия имин-енамин. Экспериментально установлено, что введение электроноакцепторных заместителей изменяет соотношение таутомерных форм и приводит к значительному спектральному отклику при комплексообразовании с катионами щелочноземельных металлов.

Впервые получены количественные данные о влиянии характера и положения заместителей на устойчивость сэндвичевых комплексов состава 2:1 краунсодержащих иминов 1-гидроксиантрахинона с катионами Sr^{2+} и Ba^{2+} . С помощью спектроскопических методов анализа и квантовохимических расчетов установлены структуры образующихся комплексов, измерены их константы устойчивости.

На базе полученных результатов физико-химического исследования катион-рецепторных свойств большого набора краунсодержащих иминов 1-гидроксиантрахинона, сформированы научно обоснованные представления о закономерностях процессов взаимодействия исследуемых сенсоров с катионами щелочных и щелочноземельных металлов.

Практическая значимость. Разработана препаративно удобная методика селективного замещения α -атома галогена на феноксигруппу в полигалогенантрахинонах. Получен ряд кра-унсодержащих иминов 1-гидроксиантрахинона, которые могут быть использованы в качестве эф-

фективных оптических сенсоров для визуально-тестового определения катионов щелочных и щелочноземельных металлов. Выявленные закономерности самосборки устойчивых сэндвичевых комплексов краунсодержащих иминов 1-гидроксиантрахинона важны с точки зрения рационального дизайна супрамолекулярных систем с участием производных хинонов. Полученные новые данные о влиянии характера и положения заместителей в структуре хромофора на величину оптического отклика и селективность процессов комплексообразования могут быть использованы для разработки и прогнозирования свойств оптических молекулярных сенсоров таутомерного типа для решения конкретных аналитических задач. Бизнес-проект на основе результатов диссертационного исследования был одобрен экспертной комиссией научно-инновационного конкурса «УМНИК», проходившего в Югре в ноябре 2021 года.

Положения, выносимые на защиту:

- селективный твердофазный метод синтеза α -замещенных производных полигалогенантрахинонов;
- сравнительная оценка катион-рецепторных свойств краунсодержащих иминов 1-гидрокси-9,10-антрахинона при комплексообразовании с катионами щелочных и щелочноземельных металлов;
- результаты исследования влияния электронных эффектов заместителей и природы растворителя на таутомерный состав краунсодержащих иминов 1-гидрокси-9,10-антрахинона;
- результаты исследования устойчивости сэндвичевых комплексов краунсодержащих иминов 1-гидрокси-9,10-антрахинона с катионами щелочноземельных металлов.
- установление строения полученных соединений на основе данных ИК, УФ, ЯМР ¹Н и ¹³С спектроскопии с привлечением 2D экспериментов, масс-спектрометрии и РСА.

Методы исследования. Для установления структуры синтезированных соединений и исследования их свойств использован комплекс физико-химических методов анализа — ИК-спектроскопии, 1 H и 13 C ЯМР-спектроскопии, в том числе двумерных экспериментов 1 H- 1 H COSY, 1 H- 1 H NOESY, элементного, рентгеноструктурного, масс-спектрометрического анализа.

Достоверность результатов работы обеспечена применением современных методов исследования. Анализ состава, структуры и чистоты полученных соединений осуществлялся на проверенных приборах АЦКП ИПХФ РАН (г. Черноголовка) и Химического исследовательского ЦКП СО РАН (г. Новосибирск). Стехиометрия комплексообразования, константы устойчивости и спектры поглощения комплексов определены на основе данных спектрофотометрического титрования ИПХФ РАН (г. Черноголовка).

Апробация результатов диссертационной работы. Основные результаты работы были представлены в виде устных и стендовых докладов на российских и международных конференциях: І Всероссийская молодежная школа-конференция «Успехи синтеза и комплексообразования» (Москва. 2016 г.), Х Международная конференция молодых учёных по химии «Менделеев-2017» (Санкт-Петербург. 2017 г.), ІХ Научная конференция молодых ученых «Инновации в химии: достижения и перспективы — 2018» (Москва. 2018 г.), ХV Международная конференция студентов, аспирантов и молодых ученых «Перспективы развития фундаментальных наук» (Томск. 2018 г.), V Всероссийская конференция с международным участием по органической химии (Владикавказ. 2018 г.), Международная научная конференция студентов, аспирантов и мо-

лодых учёных «Ломоносов 2019» (Москва. 2019 г.), V Всероссийская молодежная школа-конференция «Успехи синтеза и комплексообразования» (Москва. 2019 г.), VIII Международная конференция по физической химии краун-соединений, порфиринов и фталоцианинов (Туапсе. 2020 г.), Международная конференция «Актуальные вопросы органической химии и биотехнологии» (Екатеринбург. 2020 г.), Международный симпозиум «Невалентные взаимодействия в кристаллохимическом дизайне и супрамолекулярная химия» в рамках XXII Международной научнопрактической конференции «Химия и химическая технология в XXI веке» (Томск. 2021 г.).

Работа выполнена при финансовой поддержке Российского фонда фундаментальных исследований и правительства XMAO-Югры (проект № 18-43-860005).

Личный вклад автора. Все включенные в диссертацию результаты получены лично автором или при его непосредственном участии. Автором совместно с научным руководителем д.х.н., профессором Клименко Л.С. (ФГБОУ ВО ЮГУ) обоснованы и поставлены задачи исследования и определены подходы к их решению, предложены теоретические модели и интерпретированы все полученные экспериментальные результаты, сформулированы основные выводы и научные положения.

Методика глобального анализа спектроскопических данных с применением параметрического матричного моделирования разработана д.х.н. Ушаковым Е.Н. ЯМР-спектры получены к.х.н. Черняком А.В. в АЦКП ИПХФ РАН. Рентгеноструктурный анализ выполнен к.х.н. Корчагиным Д.В. (ИПХФ РАН). Константы устойчивости комплексов и структуры сэндвичевых комплексов рассчитаны к.х.н. Мартьяновым Т.П. совместно с автором.

Автор выражает особую благодарность к.х.н. Мартьянову Т.П. (ИПФХ РАН) и д.х.н. Клименко Л.С. (ЮГУ) за всестороннюю поддержку и помощь в выполнении работы, своим соавторам за плодотворное сотрудничество. Благодарность за помощь в установлении структур синтезированных соединений выражается к.х.н. Савельеву В.А. (НИОХ СО РАН).

Публикации по теме диссертации. Результаты работы представлены в 19 печатных работах, из которых: 4 статьи в журналах, рекомендуемых ВАК; 15 тезисов докладов и материалов российских и международных конференций.

Объем и структура диссертации. Диссертационная работа состоит из введения, трех глав (обзор литературы, основные результаты и их обсуждение, экспериментальная часть), выводов, списка обозначений и сокращений, библиографического списка, который содержит 156 наименований. Диссертационная работа изложена на 132 страницах машинописного текста, включает 41 схему, 21 рисунок и 13 таблиц.

ОСНОВНОЕ СОДЕРЖАНИЕ РАБОТЫ

Введение содержит обоснование актуальности исследования, формулировки цели и основных задач работы, научной новизны, практической значимости работы и положений, выносимых на защиту. Кроме того, во введении отражены личный вклад автора в работу, апробация работы, структура и объем диссертации.

Глава 1. Оптические молекулярные сенсоры на основе хинонов для обнаружения катионов металлов (литературный обзор) состоит из пяти разделов. Первый раздел посвящен физико-химическим основам устройства оптических хемосенсоров. Во втором разделе описаны молекулярные сенсоры на катионы щелочных и щелочноземельных металлов на основе краунсо-держащих хинонов. В третьем разделе описаны хемосенсоры для обнаружения ионов переходных металлов, в четвертом — дан обзор возможных областей практического применения оптических молекулярных сенсоров. В последнем разделе представлены общие выводы по литературному обзору.

Глава 2. Синтез и особенности комплексообразования с катионами металлов краунсодержащих иминов 1-гидроксиантрахинона (результаты и обсуждение) состоит из пяти разделов: в первом описываются методы синтеза фотоактивных производных 1-фенокси-9,10антрахинона, содержащих донорные и акцепторные заместители, во втором — фотохимический синтез целевых краунсодержащих иминов 1-гидрокси-9,10-антрахинона, в третьем — исследование процессов их комплексообразования с катионами щелочных и щелочно-земельных металлов, в четвертом — исследование влияния природы заместителей на таутомерный состав краунсодержащих иминов 1-гидрокси-9,10-антрахинона, а в пятом разделе приводятся результаты исследования устойчивости сэндвичевых комплексов краунсодержащих иминов 1-гидрокси-9,10-антрахинона с катионами щелочноземельных металлов.

2.1. Синтез фотоактивных 1-фенокси-9,10-антрахинонов, содержащих донорные и акцепторные заместители в ядре антрахинона

Объектами исследования являются 1-гидрокси-9,10-антрахинон-9-иминобензокраунэфиры, содержащие в качестве заместителей донорные (NH₂, NHCH₃, OH, OCH₃, OC₆H₅) и акцепторные группы (NHCOC₆F₅, NHCOC₆H₄NO₂, F, Cl, NO₂) в антрахиноновом ядре. Синтез целевых соединений был осуществлен в две стадии. На первом этапе необходимо было получить исходные фотоактивные 1-фенокси-9,10-антрахиноны, способные в ходе облучения легко замещать феноксигруппу на ариламиногруппу 4-аминобензо-15-краун-5-эфира.

2.1.1 Синтез аминопроизводных

1-Фенокси-9,10-антрахиноны **5** и **6**, содержащие во втором или четвертом положении аминогруппу, были получены из коммерчески доступных 1- и 2-аминоантрахинонов (**1**, **2**) в две стадии (схема 1). На первой стадии по известной методике путем электрофильного замещения атома водорода на хлор в α -положении антрахинонового ядра соединений **1** и **2** были получены соединения **3** и **4**, затем при нагревании в фенольном расплаве в присутствии КОН и меди при 160-170 С было проведено нуклеофильное замещение атома хлора на феноксигруппу. Целевые соединения **5** и **6** были получены с выходом 68% и 76% соответственно.

Кипячением в толуоле аминопроизводного **5** с *п*-нитробензоилхлоридом, пентафторбензоилхлоридом и трифторуксусным ангидридом с высоким выходом были получены 1-фенокси-2-ациламино-9,10-антрахиноны **7-9**. 1-Фенокси-2-метиламино-9,10-антрахинон (**10**) был получен из **5** по стандартной методике алкилирования с помощью диметилсульфата (схема 2).

Схема2

Аналогичным путем из аминопроизводного $\bf 6$ были получены 1-фенокси-4-($\it n$ -нитробензо-иламино)- и 1-фенокси-4-пентафторбензоиламино-9,10-антрахиноны ($\bf 11$, $\bf 12$) с выходом $\bf 81\%$ и $\bf 90\%$ соответственно.

2.1.2 Синтез нитропроизводных

Нитропроизводные 1-фенокси-9,10-антрахинона **13** и **14** были получены из аминопроизводных **5** и **6** окислением аминогруппы концентрированной перекисью водорода в ледяной уксусной кислоте. Выход составил 83% и 80% соответственно (схема 3).

Схема 3

2.1.3 Синтез гидроксипроизводных

1-Фенокси- (**15**) и 1,4-дифенокси- (**16**) -9,10-антрахиноны были получены нами из коммерчески доступных 1-хлор- и 1,4-дихлор-9,10-антрахинонов путем замещения атомов хлора на феноксигруппу по стандартной методике.

Синтез 2-гидрокси-, метокси- и феноксипроизводных 1-фенокси-9,10-антрахинона был проведен через промежуточную стадию диазотирования аминопроизводного **5**. Из диазониевой соли **5а** был получен 1-фенокси-2-хлор-9,10-антрахинон (**17**) путем замещения диазагруппы по реакции Зандмейера на атом хлора в присутствии хлорида меди (I). В результате последующей

реакции с фенолятом натрия в ДМСО с высоким выходом был выделен 1,2-дифенокси-9,10-антрахинон (**18**). В ходе гидролиза диазониевой соли **5а** был получен 1-фенокси-2-гидрокси-9,10-антрахинон (**19**) с выходом 73%, а после проведенного метилирования — 1-фенокси-2-метокси-9,10-антрахинон (**20**) с выходом 85% (схема 4).

Схема 4

2.1.4 Синтез хлор- и фторпроизводных

Для получения полигалогенпроизводных 1-фенокси-9,10-антрахинона необходимо было подобрать условия проведения реакции 1,2,3,4-тетрахлор- (21) и 1,2,3,4-тетрафтор- (22) -9,10-антрахинонов с фенолятами натрия и калия. Согласно литературным данным, направление реакций нуклеофильного замещения в полигалогенантрахинонах неоднозначно и приводит к смеси продуктов, причем существенную роль играет полярность растворителя. Взаимодействие полигалогенантрахинонов с фенолятами щелочных металлов ранее не изучалось. Синтез 1-феноксипроизводных, был проведен в условиях, способствующих селективности нуклеофильного замещения α -атома галогена (неполярный растворитель, нагрев). Оказалось, что длительное кипячение тетрахлор- и тетрафторантрахинонов в гептане и толуоле с фенолятом натрия приводит к смеси продуктов монозамещения – соединения 23, 24 и продукта дизамещения – 1,4-дифенокси-2,3-дихлор-9,10-антрахинон (25). При добавлении к толуолу ДМСО в соотношении 4:1 реакция проходит до конца уже при комнатной температуре. При нагревании тетрахлорантрахинона 21 в избытке фенола в присутствии поташа при 100 °C основным продуктом реакции также является 1,4-дифеноксипроизводное 25. При проведении реакции с фенолом и поташом в ДМСО при нагревании в качестве основного продукта выделен 1,3-дифенокси-2,4-дихлор-9,10-антрахинон (26) (схема 5). Условия проведения и выходы продуктов реакции приведены в таблице 1.

Схема 5

Таблица 1 – Условия синтеза и выходы пр	родуктов реакции 1,2,3,4-тетрахлорантрахинона (21)) c
фенолятами натрия и калия		

No	Растроритаці	Температура,	Время,	Выход продуктов реакции, %				
№ Растворитель	°C	Ч	23	24	25	26		
1	гептан	20	10	следы	-	-	ı	
2	толуол	20	10	следы	-	-	ı	
3	толуол/ДМСО 4:1	20	6	27	33	12	5	
4	гептан	98	5	46	15	11	1	
5	толуол	100	4	35	32	12	5	
6	фенол	100	1	10	8	67	3	
7	ДМСО	100	1	следы	19	следы	53	

Как следует из данных таблицы 1, соотношение продуктов замещения α - и β -атомов хлора в зависимости от природы растворителя и температуры, в целом, соответствует литературным данным. Значительное преобладание продукта α -замещения атома хлора было достигнуто при кипячении в гептане.

При взаимодействии 1,2,3,4-тетрафтор-9,10-антрахинона (22) с фенолятом натрия в гептане и толуоле уже при комнатной температуре выделен 1,4-дифенокси-2,3-дифтор-9,10-антрахинон (29) как основной продукт реакции. При применении в качестве растворителя смеси толуол-ДМСО (4:1) происходит преимущественное образование 2-фенокси-1,3,4-трифтор-9,10-антрахинона (28). При проведении реакции при 100 °C в расплаве фенола в присутствии поташа выделен преобладающий в реакционной смеси 1,2,4-трифенокси-3-фтор-9,10-антрахинон (30) (схема 6). Условия проведения и выходы продуктов реакции приведены в таблице 2.

Схема 6

Таблица 2 — Условия синтеза и выходы продуктов реакции 1,2,3,4-тетрафторантрахинона (**22**) с фенолятами натрия и калия

№ Растворитель		Температура,	Время, ч	Выход продуктов реакции, %			
"	тастворитель	°C	Бреми, т	28	29	30	
1	гептан	20	20	8	52	-	
2	толуол	20	10	5	65	-	
3	толуол/ДМСО 4:1	20	6	48	15	12	
4	фенол	100	1	-	18	56	

Таким образом, варьирование условий проведения реакций позволило нам получить ряд галогенпроизводных 1-фенокси-9,10-антрахинона. Однако наиболее перспективный для дальнейшей модификации продукт монозамещения α -атома галогена в случае тетрафторантрахинона получить не удалось.

Для увеличения региоселективности реакции замещения атомов галогена в α -положении представляло интерес исследовать новые условия проведения процесса в твердой фазе без растворителя — метод «зеленой химии». Известно, что в ряде случаев органические реакции в твердой фазе идут более эффективно и более селективно, причем скорость твердофазной реакции может быть существенно увеличена (на несколько порядков) механической активацией реакционной системы. Для проведения твердофазного синтеза смесь соединения 21 или 22, поташа и фенола тщательно растирали в агатовой ступке и затем нагревали в закрытом бюксе при 40 и 80 °C. В случае хлорпроизводного 21 термообработку проводили в течение 2 часов, а в случае фторпроизводного 22 — 1 час. Контроль за ходом реакции осуществляли с помощью ТСХ. После хроматографической очистки были получены α -замещеные моно- и дифеноксипроизводные галогенсодержащих антрахинонов, при этом образование продуктов β -замещения не наблюдалось (таблица 3).

Таблица 3 – Условия твердофазного синтеза и выходы продуктов реакции 1,2,3,4-тетрахлор- и

тетрафторантрахинонов (21, 22) с фенолятом калия

No	Исходное Температура, °C		Время, ч	Выход продуктов реакции, %				
745	соединение	температура, С	Брсмя, ч	23	25	27	29	
1	21	40	2	63	12	-	-	
2	21	80	2	5	73	-	-	
3	22	40	1	-	-	58	17	
4	22	80	1	-	-	-	71	

Таким образом, в результате серии экспериментов впервые была показана возможность проведения реакции нуклеофильного замещения атома галогена в ядре антрахинона на феноксигруппу в твердой фазе. Причем синтез целевых соединений в твердой фазе с дополнительной механической активацией реакционной смеси проходит более эффективно и избирательно, чем в присутствии растворителя. Так, удалось получить продукт монозамещения — 1-фенокси-2,3,4-трифтор-9,10-антрахинон (27) с хорошим выходом, образование которого наблюдалось в следовых количествах при проведении реакции в растворителях. В результате механохимической обработки реакционной смеси существенно увеличивается скорость реакции, а также выходы целевых продуктов. Разработанные условия получения моно- и дифеноксипроизводных антрахинона в твердой фазе без растворителя являются препаративно удобной методикой селективного получения различных α -замещенных производных галогенантрахинонов.

2.2 Фотохимический синтез краунсодержащих иминов производных 1-гидрокси-9,10антрахинона

Известно, что при облучении 1-фенокси-9,10-антрахинона и ряда его производных происходит миграция фенильной группы к атому кислорода в *пери*-положении с образованием 9-фенокси-1,10-антрахинонов. Согласно литературным данным, этот класс хинонов отличается высокой реакционной способностью по отношению к нуклеофильным агентам и легко при комнатной температуре замещает арилоксигруппу на ариламиногруппу. Поэтому второй этап синтеза целевых краунсодержащих иминов проводили фотохимическим путем, облучая солнечным светом в течение 4-7 часов раствор смеси **5-16**, **18-20**, **23-27** и 4-аминобензо-15-краун-5-эфира до исчезновения исходного соединения (контроль по TCX) (схема 7).

После обработки реакционной смеси и хроматографической очистки с высоким выходом (65–84%) были выделены соединения **31-47**.

Аналогичным путем были синтезированы бензокраун-эфирные производные, связанные с двумя хромогенными антрахинониминными группами. При фотоконденсации 1-фенокси-9,10-антрахинона (15) и ряда его производных 14, 23, 27 с 4,5'-диаминодибензо-18-краун-6-эфиром в бензоле с выходом 70-82% были получены соединения 48-51 (схема 8).

Схема 8

Фотохимическую стадию синтеза иминов 1-гидроксиантрахинона удалось провести и в твердой фазе. Смесь 1-фенокси-9,10-антрахинона (15) и 4-аминобензо-15-краун-5-эфира тщательно растирали в ступке, а затем тонкий диспергированный слой реакционной смеси помещали между двух стекол и облучали солнечным светом до исчезновения исходного соединения в течение 3 часов (контроль по ТСХ). После хроматографической очистки реакционной смеси соединение 31 было выделено с высоким выходом (87%). Полученные экспериментальные данные показывают, что твердофазный фотолиз проходит более эффективно, чем в растворителе. Однако такая методика может быть использована только для небольших навесок реагентов.

Строение всех полученных соединений было установлено с помощью комплекса физико-

химических методов анализа. Для соединений **31** и **35** был проведен рентгеноструктурный анализ (PCA). На рисунке 1 представлена молекулярная структура соединения **31**. Штриховой линией показана внутримолекулярная водородная связь O(1)-H(1)···N(1).

Рисунок 1 – Молекулярная структура соединения 31

На рисунке 2 приведена монокристаллическая структура соединения **35** с пентафторбензоиламиногруппой в положении 2. Как и в предыдущем примере, наблюдаемая ориентация гидроксильной группы обусловлена сильной водородной связью с иминным атомом азота.

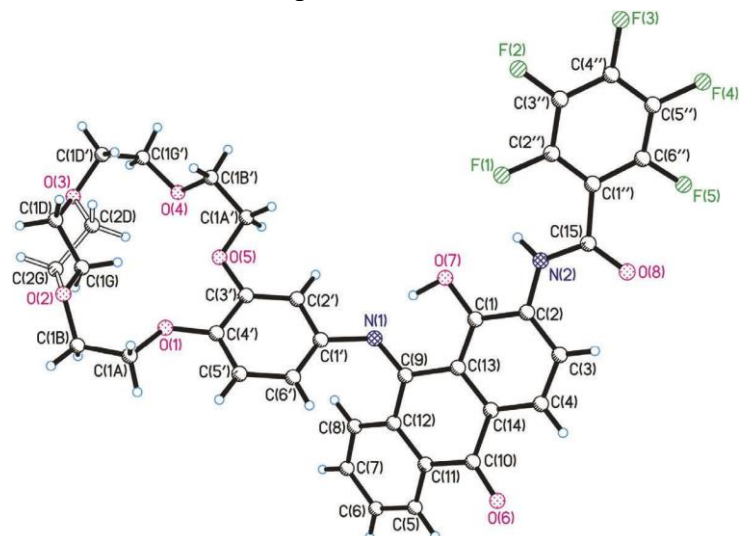


Рисунок 2 – Молекулярная структура соединения 35

Кристаллическая структура стабилизируется многочисленными межмолекулярными ван-дер-ваальсовыми силами, включая водородные связи $N(2)H\cdots O(6)$ (длина связи 2,36 Å), короткие контакты $F(4)\cdots F(5)$ (межмолекулярное расстояние 2,70 Å), а также стэкинг-взаимодействия между ароматическими кольцами антрахинона, фторированным фенильным кольцом заместителя и бензокраун-эфира.

2.3 Комплексообразование краунсодержащих иминов 1-гидрокси-9,10-антрахинона с катионами щелочных и щелочноземельных металлов

Изучение процессов комплексообразования синтезированных соединений **31-51** проводили в ацетонитрильных растворах спектрофотометрическим методом. После добавления перхлоратов щелочных и щелочноземельных металлов изменение окраски анализируемого раствора легко определялось визуально, наблюдалось контрастное изменение цвета раствора от красно-коричневого до светло-желтого («naked-eye» эффект). В таблице 4 приведены количественные характеристики спектральных изменений растворов соединений **31-51**.

Таблица 4 –ЭСП растворов **31-51** ($C_L = 1 \cdot 10^{-4} \text{ M}$) в MeCN до и после прибавления перхлоратов щелочных

и щелочноземельных металлов. $[L]/[M^{n+}] = 1:10$

Соедине	аместитель Заместитель	, [1,1]		lmax ЛИГ	анда и Д	Δλ _{тах} ком	плекса,	HM	
ние	R	L	Li ⁺	Na ⁺	K ⁺	Mg^{2+}	Ca ²⁺	Sr ²⁺	Ba ²⁺
31	Н	464	0	-6	-4	-12	-15	-12	-12
32	2-NH ₂	462	-4	-5	-2	-14	-13	-10	-10
33	4-NH ₂	606	0	-1	-2	-3	-2	0	0
34	2-NHCOC ₆ H ₄ NO ₂	420	-1	-4	-2	-9	-9	-9	-7
35	2-NHCOC ₆ F ₅	433	-2	-5	-3	-14	-11	-10	-8
36	2-NHCOCF ₃	474	-10	-33	-29	-55	-54	-51	-56
37	2-NHCH ₃	472	-2	-5	-3	-15	-14	-12	-10
38	4-NHCOC ₆ H ₄ NO ₂	488	0	-2	-3	-8	-11	-9	-6
39	4-NHCOC ₆ F ₅	486	-2	-7	-8	-13	-18	-14	-15
40	2-NO ₂	470	-9	-15	-16	-56	-56	-54	-54
41	4-NO ₂	485	-6	-8	-2	-82	-84	-85	-85
42	2-OC ₆ H ₅	422	-2	-1	-1	-6	-6	-5	-5
43	4-OC ₆ H ₅	456	-6	-8	-2	-27	-27	-26	-24
44	2-ОН	518	-3	-5	-4	-22	-20	-17	-16
45	2-OCH ₃	430	0	-2	-1	-6	-4	-4	-6
46	2,3,4-Cl ₃	476	-29	-38	-32	-56	-54	-54	-54
47	2,3,4-F ₃	480	-26	-25	-26	-65	-55	-55	-59
48	Н	466	-1	-10	-11	-16	-52	-51	-53
49	4-NO ₂	481	-6	-9	-13	-10	-86	-86	-86
50	2,3,4-Cl ₃	480	0	-11	-23	-51	-69	-72	-73
51	2,3,4-F ₃	478	0	-18	-25	-46	-65	-74	-76

Из данных, приведенных в таблице 4, следует, что для всех анализируемых соединений связывание катиона металла с атомами кислорода краун-эфирного фрагмента приводит к гипсохромному сдвигу. При этом величины сдвигов ДПП исследуемых хромоионофоров существенно различаются. Такие значительные различия спектральных изменений в ходе комплексообразования с ионами металлов однотипных по структуре краунсодержащих иминов 1-гидрокси-9,10-антрахинона определяются как природой заместителя, так и его положением в ядре антрахинона. Результаты исследования показали, что введение акцепторных заместителей в ядро антрахинона увеличивает диапазон спектральных изменений по сравнению с незамещенным аналогом и соединениями с донорными заместителями в 6-7 раз. Самые большие сдвиги ДПП наблюдались при добавлении катионов щелочноземельных металлов в растворы производных 18-краун-6-эфира (49, 50, 51), содержащих акцепторные заместители. Размер полости этого эфира соответствует диаметру катиона бария, что, безусловно, способствует процессу связывания при образовании комплексов.

2.4 Влияние электронных эффектов заместителей на таутомерный состав краунсодержащих иминов 1-гидрокси-9,10-антрахинона

Как следует из данных, приведенных в таблице 4, в ходе образования комплексов наблюдаются гипсохромные сдвиги длинноволновой полосы поглощения исследуемых производных, также мы наблюдаем изменение самой формы спектра поглощения. Это может быть связано со смещением длинноволновой полосы (~500 нм) в коротковолновую область (аналогично донорноакцепторным хромоионофорам), либо со сдвигом прототропного таутомерного равновесия имин \rightleftharpoons енамин в сторону иминоформы при связывании с катионами металлов. На основе литературных данных мы предполагаем преобладание последнего эффекта.

Схема 9

Длинноволновая часть ЭСП исследуемых хромоионофоров содержит две широкие неразрешенные полосы, которые могут быть отнесены к двум таутомерным формам — иминной и енаминной (рис. 3). Форма спектра определяется соотношением этих таутомеров, так как, согласно закону аддитивности оптических плотностей, при наличии в растворе нескольких светопоглощающих компонентов регистрируемый ЭСП является их суммой.

Нами была проведена аппроксимация спектрального профиля с помощью функций логнормального распределения, что позволило оценить положения максимумов (λ_{max}) таутомеров и их соотношение. На основе литературных данных коротковолновая полоса была нами отнесена к иминной форме, а длинноволновая к енаминной. Примеры результатов математического разложения ЭСП соединений **31**, **32**, **36** и **46** представлены на рисунке 3.

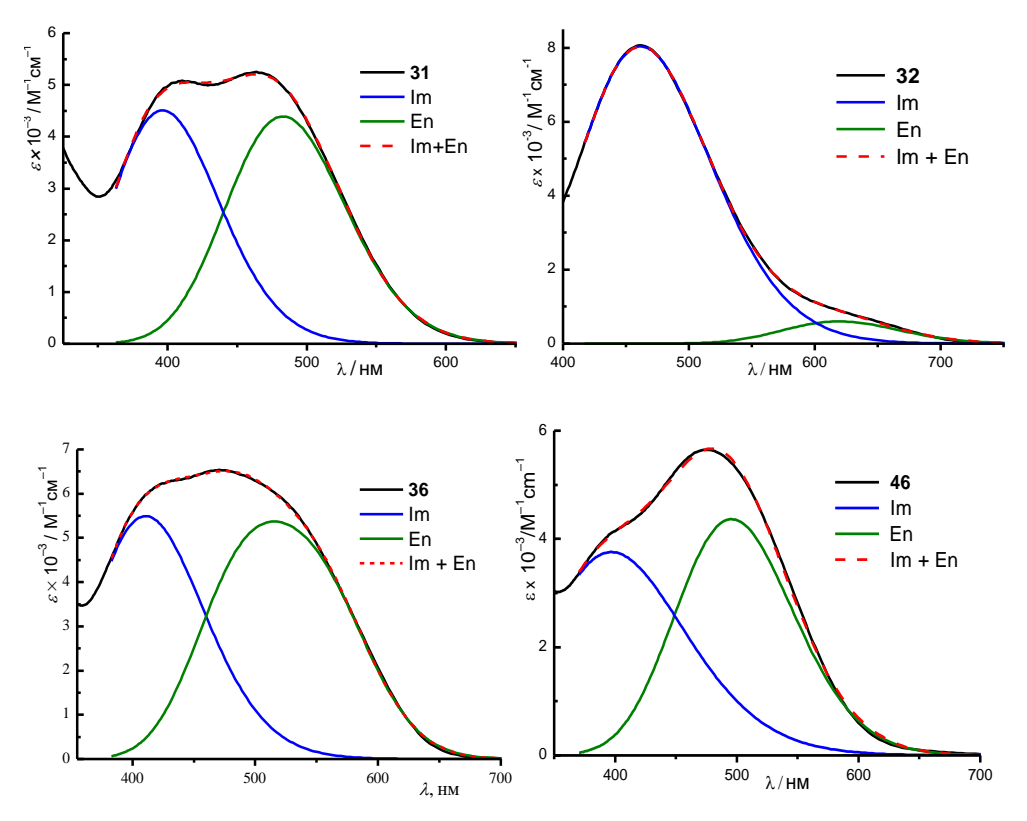


Рисунок 3 — Экспериментальные ЭСП соединений **31**, **32**, **36** и **46** в MeCN и их аппроксимация суммой логнормальных функций

Для оценки относительного содержания NH-таутомера нами был рассчитан параметр $R_{\rm en} = \varepsilon_{\rm en}/\varepsilon_{\rm im}$, где $\varepsilon_{\rm en}$, $\varepsilon_{\rm im}$ — молярные коэффициенты поглощения в максимумах ДПП таутомеров, полученные в результате математического разложения спектров лигандов. Величина $R_{\rm en}$ показывает преобладание енаминной формы над иминной в ряду исследуемых производных и является численным отображением соотношения количества енаминной и иминной форм в растворе (таблица 5).

Таблица 5 — Значение параметра $R_{\rm en}$ для соединений **31**, **32**, **36**, **40** и **46**

Соединение	31	32	36	40	46
Заместитель	Н	2-NH ₂	2-NHCOCF ₃	2-NO ₂	2,3,4-Cl ₃
$\lambda_{ m max}^{ m Im}$, hm	396	462	410	405	397
$\lambda_{ m max}^{ m En}$, $_{ m HM}$	484	620	515	487	495
$R_{ m en}$	0,975	0,073	0,987	0,992	1,160

Как следует из данных таблицы 5, введение акцепторных заместителей увеличивает содержание глубокоокрашенного NH-таутомера в таутомерной смеси. При комплексообразовании с катионами металлов индуцируется сдвиг прототропного таутомерного равновесия в сторону менее окрашенной иминоформы, поэтому мы и наблюдаем увеличение диапазона оптического отклика в процессе комплексообразования для лигандов с электроноакцепторными заместителями. Разница в спектральных изменениях растворов **46** (а) и **32** (б) при комплексообразовании с катионами металлов наглядно продемонстрирована на рисунке 4.

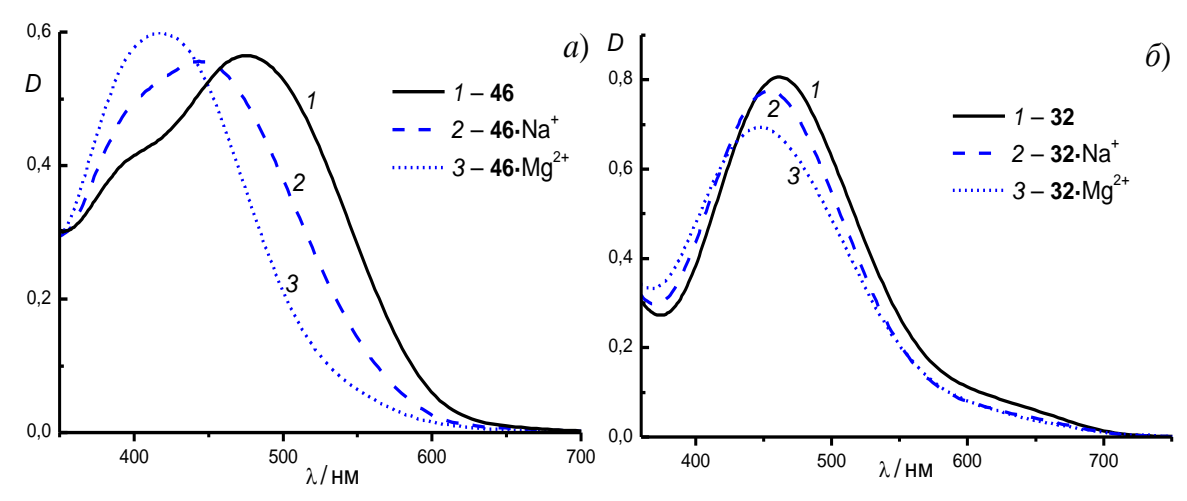


Рисунок 4 — Изменение ЭСП растворов **46** (а) и **32** (б) при добавлении NaClO₄ (2) и Mg(ClO₄)₂ (3) в MeCN ($1\cdot10^{-4}$ М)

Влияние заместителей на сдвиг прототропного равновесия может быть объяснено при рассмотрении резонансных структур таутомеров. Согласно литературным данным в строение NHтаутомера (схема 10) значительный вклад наряду с 1,10-антрахиноидной (**B**) вносит биполярная 9,10-антрахиноидная структура (**B'**), что объясняется энергетической выгодностью *пара*-хиноидного расположения связей по сравнению *ана*-хиноидным.

Схема 10

Введение электроноакцепторных заместителей в положения 2 и 4 антрахинонового ядра приводит к стабилизации резонансной биполярной структуры \mathbf{B}' за счет лучшего перераспределения отрицательного заряда на атоме кислорода в положении 1 и делает такой лиганд глубоко окрашенным. Очевидно, что введение донорных заместителей дестабилизирует структуру \mathbf{B}' , что приводит к сдвигу таутомерного равновесия в сторону иминной формы \mathbf{A} .

2.5 Факторы, определяющие устойчивость сэндвичевых комплексов краунсодержащих иминов 1-гидрокси-9,10-антрахинона с катионами щелочноземельных металлов

Как известно, краун-эфиры способны образовывать сэндвичевые комплексы состава 2:1 с катионами металлов, диаметр которых превышает диаметр краун-полости. Эта особенность используется при создании «умных» материалов таких, как ионочувствительные мембраны, супрамолекулярные гели, различные фотонные устройства и сенсоры на катионы металлов. Образование сэндвичевых комплексов может существенно влиять на транспорт ионов через жидкие мембраны, содержащие краун-эфиры, что важно учитывать при разработке простых искусственных моделей биологических систем.

Ранее было показано, что сэндвичевые комплексы состава 2:1 (лиганд-металл), образованные производными бензо-15-краун-5-эфира, содержащими антрахинониминовый хромофор, имеют более высокие константы устойчивости, чем соответствующие комплексы 1:1, благодаря

межхромофорным π -стэкинг-взаимодействиям. В частности, установлено, что константа устойчивости комплекса 2:1 соединения **31** с Ва²⁺ в два раза выше, чем у соответствующего комплекса 1:1. Введение электроноакцепторной бензоиламиногруппы (соединение **52**) в ядро антрахинона приводило к дальнейшему увеличению относительной устойчивости комплекса 2:1. Представляло интерес продолжить исследование влияния характера заместителей на устойчивость сэндвичевых комплексов краунсодержащих иминов 1-гидрокси-9,10-антрахинона с катионами щелочноземельных металлов. Для этого нами были выбраны бензоиламинопроизводные **34** и **35**, а также **52** для сравнительного анализа (схема 11).

Схема 11

34:
$$R^1 = H$$
; $R^2 = NO_2$
35: $R^1 = R^2 = F$
52: $R^1 = R^2 = H$

Известно, что введение любого заместителя в одно из колец димера бензола приводит к усилению межмолекулярного взаимодействия. Причем величина этого эффекта возрастает с увеличением электроноакцепторного характера заместителя. Поэтому мы предположили, что краунсодержащие антрахинонимины 34 и 35 с электроноакцепторными заместителями в кольце Е будут образовывать более устойчивые сэндвичевые комплексы, чем соединение 52, из-за усиления межмолекулярного связывания между кольцами Е и А. Структура сэндвичевых комплексов 34, 35, 52 с Ва²⁺ была изучена методом ЯМР-спектроскопии и с помощью теории функционала плотности (DFT).

Комплексообразование производных **34** и **35** с катионами щелочноземельных металлов в MeCN изучали методом спектрофотометрического титрования (СФТ). Изменения ЭСП в ходе титрования для систем **34-**Mg(ClO₄) $_2$ и **35-**Mg(ClO₄) $_2$ представлены на рисунке 5.

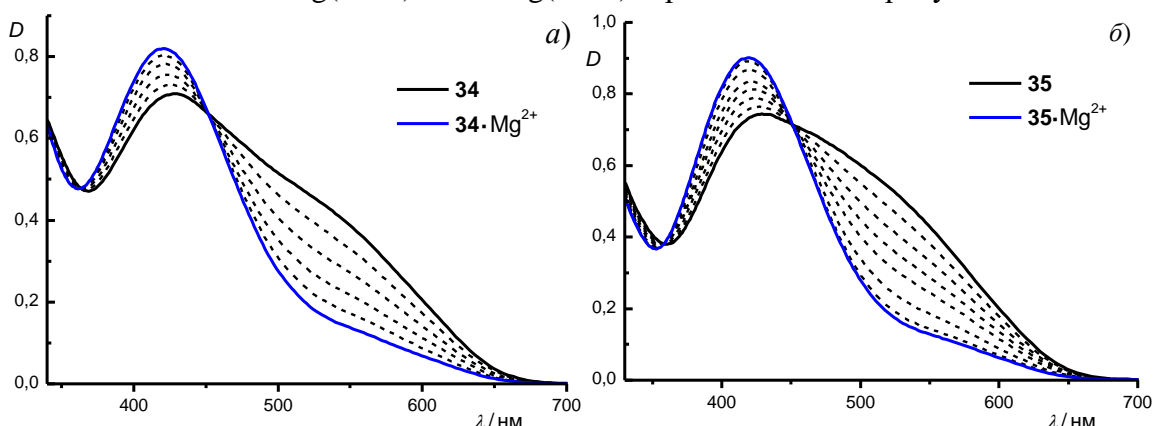


Рисунок 5 — Данные СФТ для системы **34-**Mg(ClO₄)₂ (a) и **35-**Mg(ClO₄)₂ (б) в MeCN $(C_L=1.7\times10^{-5}~\mathrm{M},~C_{\mathrm{Mg}}=(0\text{-}1.4)\times10^{-4}\mathrm{M})$

Аналогично выше рассмотренным примерам, широкая ДПП красителей **34** и **35** является суперпозицией ЭСП двух таутомерных форм: иминной и енаминной (схемы 9, 10). Очевидно,

что спектральные изменения, наблюдаемые при добавлении $Mg(ClO_4)_2$, происходят главным образом из-за сдвига таутомерного равновесия в сторону имина, который поглощает в более коротковолновой области. Данные СФТ соединений **34** и **35** перхлоратами магния и кальция, соответствовали модели связывания 1:1 (уравнение 1), тогда как для $Sr(ClO_4)_2$ и $Ba(ClO_4)_2$, наилучшие результаты были получены для модели, представленной уравнениями 1 и 2:

$$L + M^{n+} \stackrel{K_{1:1}}{\longleftarrow} L \cdot M^{n+} \tag{1}$$

$$L \cdot M^{n+} + L \xrightarrow{K_{2:1}} L_2 \cdot M^{n+} \tag{2}$$

где L – лиганд, M^{n+} – катион металла, $K_{1:1} = [L \cdot M^{n+}]/([L] [M^{n+}])$ – константа устойчивости комплекса 1:1, $K_{2:1} = [L_2 \cdot M^{n+}]/([L] [L \cdot M^{n+}])$ – константа устойчивости комплекса 2:1. Константы устойчивости комплексов соединений **34** и **35** с катионами щелочноземельных металлов были рассчитаны на основе данных СФТ, используя метод глобального анализа спектральных данных (таблица 6).

Для всех исследуемых красителей значения $\lg K_{1:1}$ уменьшаются с увеличением ионного радиуса металла. Такая же тенденция наблюдается и для незамещенного бензо-15-краун-5 эфира (Б15К5) в MeCN (рисунок 6).

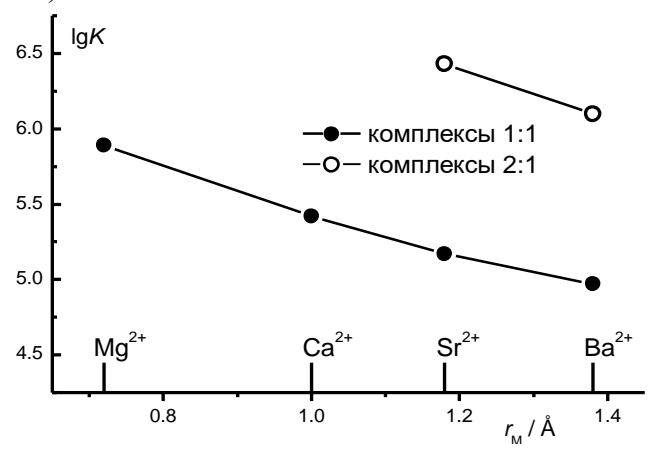


Рисунок 6 — Зависимость $\lg K$ от ионного радиуса металла $(r_{\rm M})$ для комплексов **34** с ионами щелочноземельных металлов в MeCN

Для красителей константы стабильности $K_{1:1}$ примерно в десять раз ниже, чем константы для Б15К5, что связано с электроноакцепторным влиянием остатка антрахинона на бензокраунэфирный фрагмент. Напротив, константы стабильности $K_{2:1}$ для красителя **34** с Sr²⁺ и Ba²⁺ в 2,67 и 2,20 раза выше, чем константы для Б15К5, что связано с усилением стэкинг-взаимодействий в сэндвичевых комплексах красителя.

Таблица 10 — Соотношения $K_{2:1}/K_{1:1}$ и различия в свободной энергии комплексообразования $\delta \Delta G = -RT(\ln K_{2:1} - \ln K_{1:1})$ для комплексов Б15К5 и красителей **34**, **35**, **52** с катионами Sr^{2+} и Ba^{2+} в MeCN

Лиганд	$K_{2:1}$	$/K_{1:1}$	$\delta\!\Delta G$, ккал/моль		
лит анд	Sr ²⁺	Ba^{2+}	Sr ²⁺	Ba ²⁺	
Б15К5	0,35	0,67	0,62	0,24	
34	17,3	12,5	-1,72	-1,54	
35	5,96	9,72	-1,05	-1,35	
52	8,75	7,60	-1,28	-1,20	

Согласно данным, представленным в таблице 6, нитропроизводное **34** характеризуется более высокими значениями $K_{2:1}/K_{1:1}$ для обоих катионов, чем для пентафторпроизводного **35** и их водородного аналога **52**. Для объяснения причин выявленных закономерностей и подтверждения образования сэндвичевых структур полученных комплексов нами было проведено исследование процессов комплексообразования методом ЯМР 1 H, а также с помощью DFT-расчетов была изучена молекулярная структура соединений **34**, **35**, **52** и их комплексов 2:1 с Ba²⁺. Наиболее стабильные конформеры комплекса (**34**)₂·Ва²⁺ показаны на рисунке 7.

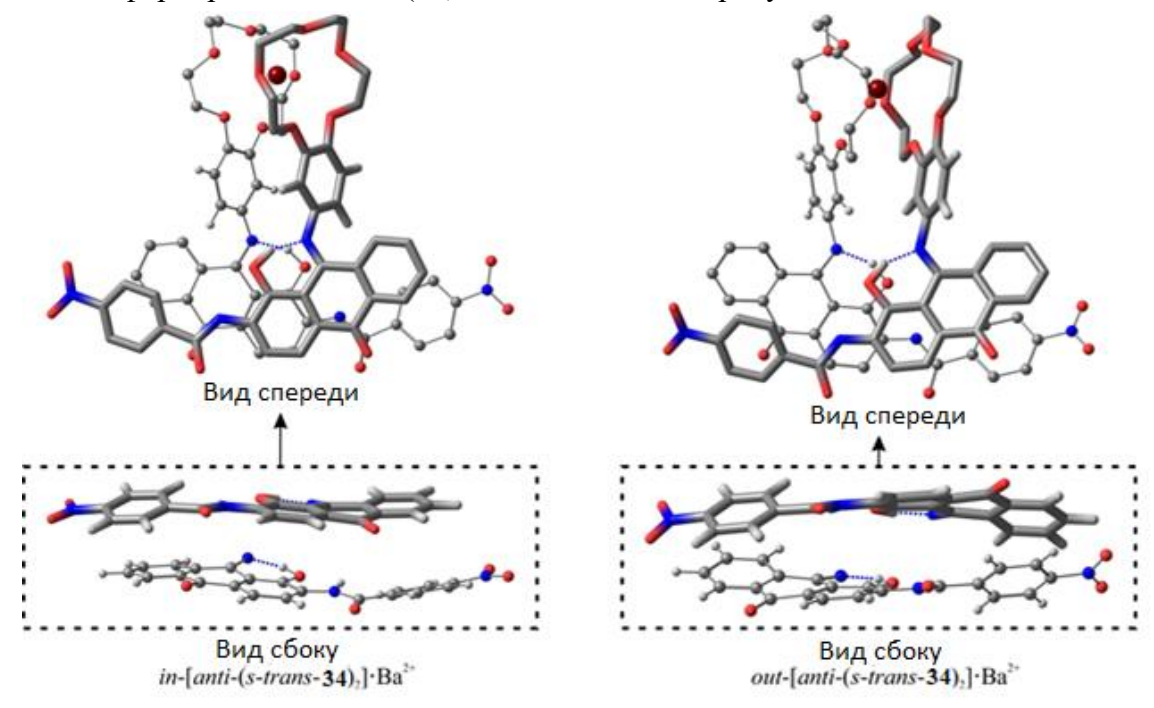


Рисунок 7 – Наиболее устойчивые конформации комплекса (**34**)₂⋅Ва²⁺ в MeCN, рассчитанные методом DFT

Для изучения влияния электронодонорных заместителей на стабильность сэндвичевых комплексов, образованных краунсодержащими антрахинониминами, нами были исследованы два феноксипроизводных **42** и **43** (схема 12).

Схема 12

Комплексообразование краунсодержащих красителей **42** и **43** с перхлоратами щелочноземельных металлов в MeCN изучали методом спектрофотометрического титрования. Данные СФТ для систем **42**–Mg(ClO₄) $_2$ и **43**–Mg(ClO₄) $_2$ представлены на рис. 8.

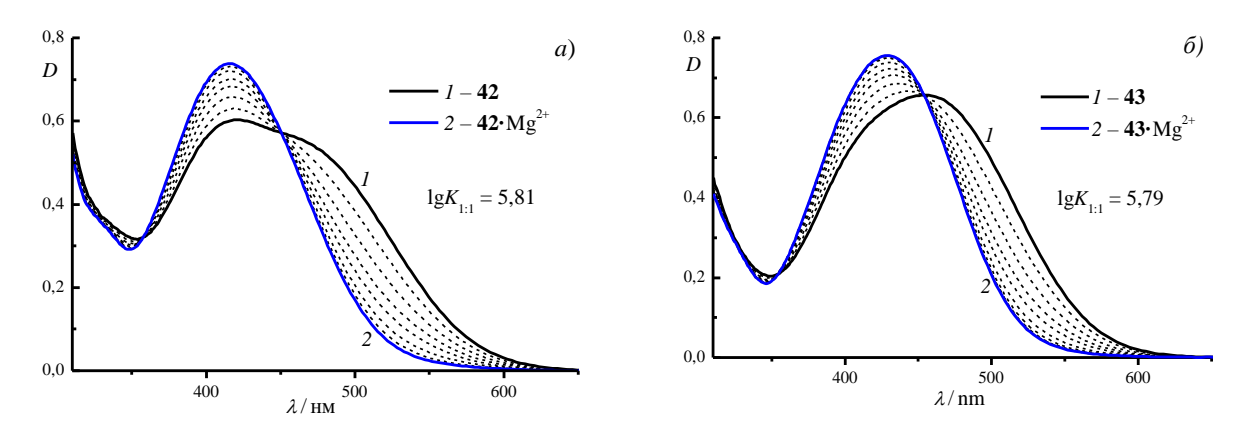


Рисунок 8 — Данные СФТ для систем (а) **42**—Mg(ClO₄)₂ и (б) **43**—Mg(ClO₄)₂ в MeCN ($C_L = 1.8 \times 10^{-5}$ М, $C_{Mg} = 0 - 1.4 \times 10^{-4}$ М)

Константы устойчивости комплексов соединений **42** и **43** с катионами щелочноземельных металлов были рассчитаны на основе данных СФТ. В таблице 7 приведены соотношения констант устойчивости комплексов лиганд-металл 2:1 и 1:1 ($K_{2:1}/K_{1:1}$) для Б15К5 и красителей **42**, **43**, **31**, **52** с Sr²⁺ и Ba²⁺.

Таблица 7 — Соотношения констант устойчивости комплексов лиганд — металл 2:1 и 1:1 для соединений **42**, **43**, **31**, **52** и Б15К5 с катионами Sr^{2+} и Ba^{2+} в MeCN

	M ⁿ⁺	42	43	31	52	Б15К5
	M	2-OC ₆ H ₅	4-OC ₆ H ₅	Н	2-NHCOPh	D13N3
V_{-} , $/V_{-}$.	Sr ²⁺	2,68	2,46	1,01	8,75	0,35
$K_{2:1}/K_{1:1}$	Ba ²⁺	2,70	2,72	2,26	7,60	0,67
$\delta \Delta G$,	Sr ²⁺	-0,58	-0,53	-0,09	-1,28	0,62
ккал/моль	Ba ²⁺	-0,59	-0,59	-0,48	-1,20	0,24

Наблюдаемые различия в соотношениях $K_{2:1}/K_{1:1}$ для бензо-15-краун-5-эфира ($K_{2:1}/K_{1:1} < 1$) и красителями **42**, **43**, **31**, **52** ($K_{2:1}/K_{1:1} > 1$) объясняются дополнительными π -стэкинг-взаимодействиями в сэндвичевых комплексах. Тот факт, что соотношения $K_{2:1}/K_{1:1}$ как с катионами Sr^{2+} , так и с катионами Ba^{2+} значительно возрастают при переходе от незамещенного красителя **31** к его 2-бензоиламинопроизводному **52**, объясняется большим числом коротких стэкинг-контактов (4 против 2) в сэндвичевых комплексах. Значения $K_{2:1}/K_{1:1}$, измеренные для производных **42**, **43** очень близки к соответствующим значениям, измеренным для **31**. Это говорит о том, что дополнительные стэкинг-контакты с участием фенильных колец в сэндвичевых комплексах, образованных феноксипроизводными очень слабые. Таким образом, экспериментально показано, что введение акцепторных заместителей в фенильное кольцо бензоиламиногруппы приводит к увеличению констант устойчивости сэндвичевых комплексов с Sr^{2+} и Ba^{2+} .

Глава 3. Экспериментальная часть. В начале главы приведены используемые в работе оборудование и материалы, затем методики синтеза объектов исследования и их физико-химические характеристики, подтверждающие строение синтезированных соединений.

Результаты и выводы:

- 1. Разработан селективный твердофазный метод синтеза α -замещенных арилоксипроизводных тетрахлор- и тетрафторантрахинонов.
- 2. Фотохимическим методом получена серия новых краунсодержащих иминов 1-гидроксиантрахинона, содержащих донорные и акцепторные заместители в ядре антрахинона.
- 3. Показано, что полученные краунсодержащие имины 1-гидроксиантрахинона обладают свойствами таутомерных хромоионофоров: наблюдаемые спектральные изменения в ходе комплексообразования краунсодержащих иминов 1-гидроксиантрахинона соответствуют смещению таутомерного равновесия имин-енамин.
- 4. Установлено, что введение электроноакцепторных заместителей приводит к сдвигу прототропного таутомерного равновесия имин-енамин в сторону образования аминоформы, в результате чего значительно увеличиваются катион-индуцированные спектральные изменения при комплексообразовании.
- 5. Впервые получены количественные данные о влиянии характера и положения заместителей на устойчивость сэндвичевых комплексов состава 2:1 краунсодержащих иминов 1-гидроксиантрахинона с катионами Sr^{2+} и Ba^{2+} : Показано, что введение акцепторных заместителей приводит к увеличению константы устойчивости $K_{2:1}$ образующихся комплексов, по сравнению с $K_{1:1}$.
- 6. Проведенные исследования состава образующихся комплексов и измерение их констант устойчивости позволяют вести целенаправленный синтетический поиск оптических хемосенсоров для визуально-тестового селективного определения катионов металлов.

Основное содержание диссертации изложено в следующих публикациях:

- 1. Martyanov, T.P., **Kudrevatykh, A.A.**, Strelnikov, I.G., Klimenko, L.S., Korchagin, D.V., Chernyak, A.V., Ushakov, E.N. Influence of peripheral substituents on the stability of sandwichtype complexes of crown ether-containing anthraquinoneimines // Supramolecular Chemistry. 2018. Vol. 30 (11). P. 918–928. doi:10.1080/10610278.2018.1479526
- 2. **Kudrevatykh, A.A.**, Neznaeva, D.A., Martyanov, T.P., Klimenko, L.S. Effect of substituents on cation-receptor properties of crown-containing 1-hydroxyanthraquinone imines // Rus. Chem. Bull. 2019. Vol. 68 (3). P. 623–627. doi:10.1007/s11172-019-2465-8
- 3. **Кудреватых, А.А.**, Клименко, Л.С. Синтез и свойства галогенсодержащих макроциклических иминов антрахинона – хемосенсоров на катионы металлов // Вестник Югорского государственного университета. – 2020. – Т. 2, №57. – С. 50-56. doi:10.17816/byusu20200250-56
- 4. **Kudrevatykh, A.A.**, Martyanov, T.P., Ushakov, E.N., Chernyak, A.V., Klimenko, L.S. Influence of electron-donating substituents on the stability of sandwich-type complexes of crown-containing anthraquinoneimines // Macroheterocycles. 2020. Vol. 13 (1). P. 55-63. doi:10.6060/mhc200285k

Основные результаты диссертации представлены на российских и международных конференциях:

- 1. **Кудреватых, А.А.**, Клименко, Л.С. Синтез галогенсодержащих лигандов на основе краун-эфирных производных антрахинона. Сборник тезисов IV Региональной молодежной конференции имени В.И. Шпильмана. Ханты-Мансийск, 2016. С. 67-69.
- 2. **Кудреватых, А.А.**, Мартьянов, Т.П., Клименко, Л.С. Синтез и особенности комплексообразования галогенсодержащих лигандов на основе 15-краун-5-эфирных производных 1-гидрокси-9,10-антрахинон-9-иминов. Сборник материалов I Всероссийской молодежной школыконференции «Успехи синтеза и комплексообразования». Москва, 2016. С. 133.
- 3. **Кудреватых, А.А.**, Стрельников, И.Г. Влияние акцепторных заместителей на сенсорные свойства краунсодержащих иминов антрахинона. Сборник тезисов Международной научной конференции студентов, аспирантов и молодых учёных «Ломоносов 2017». Москва, 2017. С. 86.
- 4. **Кудреватых, А.А.**, Стрельников, И.Г., Мартьянов, Т.П., Клименко, Л.С. Влияние структуры хромофора на сенсорные свойства краунсодержащих иминов антрахинона. Сборник тезисов X Международной конференции молодых учёных по химии «Менделеев-2017». Санкт-Петербург, 2017. С. 493.
- 5. **Кудреватых, А.А.**, Незнаева, Д.С. Сравнительный анализ катион-рецепторных свойств краунсодержащих иминов 1-гидроксиантрахино-на. Материалы IX научной конференции молодых ученых «Инновации в химии: достижения и перспективы 2018». Москва, 2018. С. 68.
- 6. **Кудреватых, А.А.**, Незнаева, Д.С., Клименко, Л.С. Синтез и катион-рецепторные свойства макроциклических иминов антрахинона. Сборник научных трудов XV Международной

конференции студентов, аспирантов и молодых ученых «Перспективы развития фундаментальных наук». Томск, 2018. Том 2. Химия. С. 165-167.

- 7. **Кудреватых, А.А.**, Незнаева, Д.С., Мартьянов, Т.П., Клименко, Л.С. Синтез и особенности комплексообразования краунсодержащих иминов 1-гидроксиантрахинона. Сборник тезисов V Всероссийской конференции с международным участием по органической химии. Владикавказ, 2018. С. 369.
- 8. Neznaeva, D.A., **Kudrevatykh, A.A.**, Martyanov, T.P., Klimenko, L.S. New tautomeric receptors for metal cations based on crown-containing imines of 1-hydroxyantraquinone. Book of abstracts of the Fifth International Scientific Conference «Advances in synthesis and complexing». Moscow, 2019. C. 200.
- 9. **Кудреватых, А.А.**, Мартьянов, Т.П., Ушаков, Е.Н., Клименко, Л.С. Влияния электронодонорных заместителей на устойчивость сэндвичевых комплексов краунсодержащих иминов антрахинона. Сборник тезисов VIII Международной конференции по физической химии краун-соединений, порфиринов и фталоцианинов. Туапсе, 2020. С. 44.
- 10. **Кудреватых, А.А.**, Клименко, Л.С. Твердофазное ариламинирование полигалогенантрахинонов удобный метод синтеза новых хемосенсоров на катионы металлов. Сборник материалов Международной конференции «Актуальные вопросы органической химии и биотехнологии». Екатеринбург, 2020. С. 184.
- 11. **Kudrevatykh, A.A.** Supramolecular motives in the complexation of crown-containing anthraquinone imines with metal cations. Сборник материалов Международного симпозиума «Невалентные взаимодействия в кристаллохимическом дизайне и супрамолекулярная химия» в рамках XXII Международной научно-практической конференции студентов и молодых ученых «Химия и химическая технология в XXI веке». Томск, 2021. С. 413.